

УДК 620.179:621.9

О. С. КИСЕЛЕВСКИЙ, В. П. КАЗАЧЕНКО

ФУРЬЕ-АНАЛИЗ ПРОФИЛЕЙ СВЕРХГЛАДКИХ ФРАКТАЛЬНЫХ ПОВЕРХНОСТЕЙ

(Представлено членом-корреспондентом Н. К. Мышкиным)

Белорусский государственный университет транспорта, г. Гомель

Поступило 31.01.2007

Введение. Известно, что существует связь между физическими свойствами фрактальных структур и их размерностью [1]. Как правило, формирование фрактальных структур является результатом неравновесных физико-химических процессов, таких как, например, адсорбция, диффузия [2], электрофизические процессы при формировании многокомпонентных плазменно-вакуумных покрытий [3]. Наиболее часто встречаются поверхности, размерность которых близка к $D = 2,5$ [4]. Для их фрактального анализа применяется метод анализа Фурье-спектра мощности профиля шероховатости. Как показано в [5], в области значений размерности близких к 2,5 показатель крутизны спектра мощности шероховатости α , связан с размерностью самого профиля линейной функцией $D = 2 - (\alpha - 1)/2$. Известно, что показатель α , определяется как тангенс угла наклона прямой, аппроксимирующей спектр мощности шероховатости, построенный в логарифмических координатах [6]. Размерность профиля может принимать значения в интервале от 1 до 2, при этом линейная зависимость справедлива в области значений α от 1 до 3.

С развитием технологий получения прецизионных сверхгладких поверхностей увеличился спектр наномасштабных поверхностных структур с фрактальной размерностью близкой к 2. Анализ Фурье-спектров мощности шероховатости таких поверхностей показывает возможность существования профилей с крутизной спектра мощности шероховатости $\alpha > 3$ [7, 8]. В связи с этим возникает необходимость уточнения зависимости D от α в области значений α больше 3.

Экспериментальная часть. Отметим, что метод Фурье-анализа профилей относится к непрямым геометрическим методам фрактального анализа. Они основаны на эмпирических и аналитических гипотезах о взаимосвязи статистических свойств характерных кривых [5, 9], принадлежащих численному отображению реальной поверхности [6], с размерностью самой поверхности. В данном случае гипотезой является предположение о линейной взаимосвязи показателя α крутизны частотного спектра мощности $G(f)$ функции профиля шероховатости и фрактальной коразмерности (параметра Херста) H [10]:

$$G(f) = k / f^\alpha = k / f^{2H+1}. \quad (1)$$

Параметр Херста H в (1), определяется как $R/S = (\Delta L)^H$, где R – интервал между максимальным и минимальным значением функции профиля на участке длиной ΔL ; S – среднее квадратичное отклонение профиля на том же участке [10]. Параметр H может принимать значения в открытом интервале $H \in (0; 1)$ [11] и связан с фрактальной размерностью профиля D_p вертикального сечения выражением

$$D_p = 2 - H. \quad (2)$$

В работе [4] показано, что формула (1) позволяет получать корректные значения параметра Херста только в том случае, если значения показателя α лежат в пределах от 1 до 3, а в [5] также отмечается, что формула (1) требует критической проверки. Детальное исследование зависимости размерности D_p профиля фрактальной поверхности от показателя α крутизны частотного спектра мощности его шероховатости $G(f)$ проводилось на основании математическое моделирование профилей с заданной крутизной спектра по методике предложенной в [5]. Согласно этой методике, для построения функции профиля в комплексном виде $I(x)$ использовался алгоритм быстрого преобразования Фурье в пределах пространственных частот от значения $f_{\min} = 2\pi/L$, ограниченного полной длиной профиля L , до значения $f_{\max} = 2\pi/d$, которая определяется шагом дискретизации математической модели d :

$$I(x) = \sum_j G(f) \cdot \exp(2\pi \cdot i \cdot f_j \cdot x) \quad (3)$$

Вид функции спектра мощности $G(f)$ задан показателем α в выражении

$$G(f) = k / f^\alpha, \quad (4)$$

где k – коэффициент амплитудной нормировки профиля.

По комплексному профилю I , строились профили

$$z(x) = \operatorname{Re}I \cdot \cos\psi + \operatorname{Im}I \cdot \sin\psi, \quad (5)$$

где $\operatorname{Re}I$ и $\operatorname{Im}I$ – действительная и мнимая составляющие функции профиля в комплексном виде; ψ – сдвиг фазы, выбранный случайным образом.

Примеры профилей, построенных по описанной методике со значениями спектрального показателя $\alpha = 2,5$ и $\alpha = 8$, что свидетельствует о возможности существования профилей с $\alpha > 3$, представлены на рис. 1. Увеличение значения параметра α приводит к более гладким профилям (рис. 1, б). Очевидно, что при $\alpha \rightarrow \infty$ профиль вырождается в прямую линию с фрактальной размерностью $D \rightarrow 1$.

Соответствие спектра мощности шероховатости симулированных профилей заданному показателю крутизны α было проверено методом обратного разложения функций профилей в ряд Фурье и линейной аппроксимации спектров мощности, построенных в логарифмических осях. Установлено, что параметр крутизны спектра мощности шероховатости полученных профилей соответствует заданному значению α с абсолютной погрешностью не более 0,2.

Фрактальная размерность профилей вычислялась клеточным методом, заключающимся в разбиении плоскости размерами $L \times L$, включающей профиль, на клеточное поле с размером клеток равным d . Варьируя параметр разбиения L/d , подсчитывали число клеток N , занятых линией профиля. За значение фрактальной размерности D_p принимался тангенс угла наклона графика зависимости логарифма числа занятых клеток $\lg N$ от логарифма параметра разбиения $\lg(L/d)$ [1, 12]. Погрешность вычислений определялась как среднее квадратичное отклонение графика линейной регрессии от табличных значений функции $\lg N$ ($\lg(L/d)$). Данный метод был протестирован с использованием фрактальных кривых с известной фрактальной размерностью, а именно триадной [6] и квадратной [13] кривыми Коха ($D_p = 1,26$ и $D_p = 1,5$ соответственно), а также прямой линией ($D_p = 1$). Во всех случаях абсолютная погрешность вычисления фрактальной размерности клеточным методом составляла не более 0,01.

Клеточным методом рассчитаны фрактальные размерности D_p моделей профилей, построенных при различных значениях спектрального показателя α от 1 до 10. Для каждого из профилей, с учетом формулы (2), были вычислены значения параметра Херста H . Характер полученной зависимости H от α представлен на рис. 2 точками a . Экспериментальные значения параметра Херста принадлежат промежутку $(0; 1)$, и при увеличении α асимптотически стремятся к $H \rightarrow 1$. Такую зависимость H от α в диапазоне значений $\alpha \in (1; \infty)$ можно описать выражением

$$H = 1 - 2\exp(-2\alpha/3), \quad (6)$$

которое получено на основании корреляционного анализа экспериментальных данных (рис. 2, кривая b).

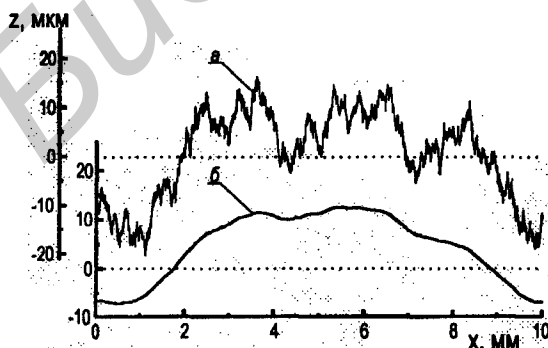


Рис. 1. Профили, симулированные по методу Фурье-преобразования: $a - \alpha = 2,5$; $b - \alpha = 8$

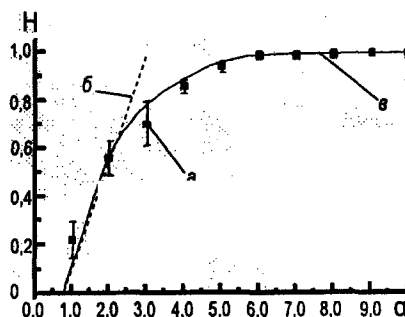


Рис. 2. Зависимости коразмерности Фурье-симулированных профилей от показателя α : a – метод фрактального анализа; b – по формуле (1); c – по эмпирической формуле (6)

Для сравнения, на рис. 2 линией *b* показана зависимость $H = (\alpha - 1)/2$, соответствующая формуле (1). Это выражение согласуется с полученной зависимости H от α только в пределах изменения α от 1 до 3. Для $\alpha > 3$ значение параметра Херста становится $H > 1$, что для реальных исследуемых объектов не имеет физического смысла.

С учетом формулы (2) и теоремы Мандельброта о том, что размерность профиля фрактальной поверхности всегда на единицу меньше размерности самой поверхности [11], зависимость фрактальная размерности поверхности D_s от показателя α крутизны спектра ее профиля в диапазоне значений $\alpha \in (1; \infty)$ можно выразить как

$$D_s = 2 \exp(-2\alpha/3) + 2. \quad (7)$$

Экспоненциальная зависимость фрактальной размерности поверхности от спектрального показателя α функции ее профиля подтверждена численными экспериментами. В этих экспериментах модели поверхностей с заданной размерностью, смоделированные методом Фосса [5], подвергались фрактальному анализу различными методами. Так, например, для модели поверхности с заданной размерностью $D = 2,25$, результаты фрактального анализа основанного на исследовании Фурье-спектров профиля при использовании линейной зависимости (1) H от α составили $D = 2,01 \pm 0,06$, а для экспоненциальных зависимостей (6), (7) $D = 2,23 \pm 0,03$. Величина фрактальной размерности этих же моделей, полученная методом горизонтальных сечений (площадь – периметр), составила $D = 2,20 \pm 0,1$, а методом подсчета фактической площади (клеточным методом) $D = 2,24 \pm 0,02$. Аналогичные эксперименты были проведены для реальных поверхностей алмазоподобных покрытий (АПП) [8]. Фрактальная размерность АПП, вычисленная методом Фурье анализа профилограмм, составила $D = 2,47 \pm 0,05$, а вычисленная методом горизонтальных сечений – $D = 2,47-2,49$.

Заключение. Предложенная экспоненциальная зависимость размерности поверхности D от параметра крутизны Фурье-спектра функции ее профиля α обладает существенными преимуществами перед известной линейной зависимостью. Во-первых, она учитывает возможность существования поверхностей, показатель крутизны спектра профиля которых α имеет значения больше 3 и дает возможность проводить их фрактальный анализ. Во-вторых, не противоречит результатам существующей линейной зависимости в области значений размерности поверхности D от 2,5 до 3 и позволяет более точно вычислять фрактальную размерность в области от 2 до 2,5.

Литература

1. Иванова В. С., Балаикин А. С., Бунин И. Ж., Оксогоев А. А. Синергетика и фракталы в материаловедении. М., 1994.
2. Суханов А. Д., Тимашев С. Ф. // Журн. физ. хим., 1998. № 11. С. 132–135.
3. Витязь П. А., Гордиенко А. И., Мрочек Ж. А. и др. // Докл. НАН Беларуси. 2006. Т. 50, № 5. С. 98–100.
4. Sayles R. S., Thomas T. R. // Nature. 1978. Vol. 271. P. 431–434
5. Feder J. Fractals. – N. Y., 1988.
6. Шредер М. Фракталы, хаос, степенные законы. Миниатюры из бесконечного рая. Ижевск, 2001.
7. Lin C. W., Du Y. C. // Materials Chem. and Phys., 1999. Vol. 58. P. 268–275.
8. Киселевский О. С., Казаченко В. П. // Трение и износ. 2006. № 3. С. 304–308.
9. Mandelbrot B. B., Passoja D. E., Pullax A. J. // Nature. 1984. Vol. 308. P. 721.
10. Mecholsky J. J., Passoja D. E., Feinberg–Rigel K. S. // J. Amer. Ceram. Soc. 1988. Vol. 72, N 1. P. 60.
11. Mandelbrot B. B. The Fractal Geometry of Nature, updated and augmented. N. Y., 1984.
12. Киселевский О. С., Казаченко В. П., Мамуня Е. П. // Сб. науч. тр. Низкоразмерные системы-2, Гродно, 2004. С. 47–53.
13. Иванова В. С., Встовский Г. В., Колмаков А. Г., Пименов В. Н. Мультифрактальный метод тестирования устойчивости структур в материалах. М., 2000.

KISELEVSKY O. S., KAZACHENKO V. P.

kvp@belsut.gomel.by

FOURIER ANALYSIS OF ULTRASMooth FRACTAL SURFACE PROFILES

Summary

Numerical simulation of surface profiles with stated fractal dimension was carried out. The dependence of the fourier-spectrum profile behavior on fractal dimension D and codimension H of the surface was investigated. An empirical exponential formula of the dependence of Hurst-parameters on the power-spectrum steepness the profiles was proposed.